

UM CONTROLADOR RST ADAPTATIVO DIGITAL COM IDENTIFICAÇÃO POR MÍNIMOS QUADRADOS RECURSIVO E SINTONIA POR ALOCAÇÃO DE POLOS

Werther Alexandre de Oliveira Serralheiro¹

Instituto Federal de Santa Catarina – Campus Araranguá

¹werther@ifsc.edu.br

Palavras-Chave: Controle Digital Adaptativo, Mínimos Quadrados Recursivo, Identificação de Sistemas.

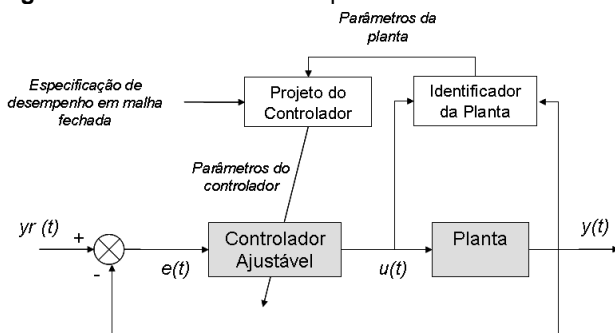
INTRODUÇÃO

A maioria das técnicas clássicas de controle de processos pressupõe o conhecimento prévio do processo a ser controlado. Contudo, em muitos casos práticos, a modelagem matemática do sistema é muito complexa, ou os parâmetros internos do processo são variantes com o tempo. Então, com o objetivo da eficiência e robustez do sistema de controle, faz-se necessária a identificação paramétrica do processo a ser controlado. A moderna técnica de controle adaptativo consiste em aplicar algum método de estimação para obter os parâmetros do modelo do processo a ser controlado através da medição de seus sinais de entrada e de saída e, a partir desse modelo estimado, projetar a lei de controle adequada. A proposta deste artigo é criar, por meio de simulação em MatLab®, um controlador autoajustável explícito numa planta que, apesar de ter conhecimento prévio da sua função transferência, será identificada em tempo real. O projeto do controlador adaptativo dar-se-á pelo método de alocação de polos numa estrutura RST, respeitando algumas especificações pré-estabelecidas.

METODOLOGIA

O Controlador Autoajustável (STR) automatiza não só a tarefa de controle realimentado, mas também a de modelagem matemática utilizada para o projeto da lei de controle. Numa malha fechada em que se faz necessária uma adaptação da lei de controle em tempo real, a técnica de controle STR deve ser realizada por um algoritmo autoajustável direto (ou explícito). No STR explícito, os parâmetros estimados da planta são determinados e atualizados a cada período de amostragem, e utilizados no cálculo dos parâmetros do controlador ajustável. Esta forma é ilustrada pelo diagrama de blocos da Figura 1.

Figura 1 – Controlador STR explícito



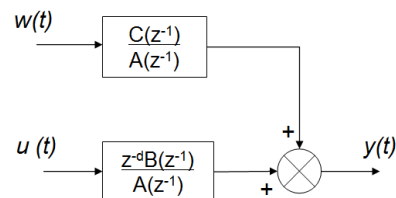
Fonte: Adaptado de Coelho e Coelho (2004)

A planta controlada proposta para este artigo tem a função transferência dada por:

$$G_p(s) = \frac{1}{(s + 1)^4} \quad (1)$$

Esta função transferência em tempo contínuo foi criada digitalmente através de uma equação a diferenças cujo polinômio foi calculado utilizando o processo de discretização com Segurador de Ordem Zero (ZOH), com um período de amostragem de $T_s = 0.2$ seg. O modelo escolhido para implementação foi o Armax (autorregressivo/média móvel para a variável exógena), representado pela Figura 2.

Figura 2 – Modelo Armax



Fonte: Aström & Wittenmark (1995)

Para este modelo, vale a expressão:

$$A(z^{-1})y(t) = z^{-d}B(z^{-1})u(t) + C(z^{-1})w(t) \quad (2)$$

onde:

- z^{-1} : operador atraso;
- $A(z^{-1})$, $B(z^{-1})$ e $C(z^{-1})$: polinômios da função de transferência do sistema da forma:
 $A(z^{-1}) = 1 + a_1z^{-1} + a_2z^{-2} + \dots + a_{na}z^{-na}$
 $B(z^{-1}) = b_0 + b_1z^{-1} + b_2z^{-2} + \dots + b_{nb}z^{-nb}$
 $C(z^{-1}) = c_0 + c_1z^{-1} + c_2z^{-2} + \dots + c_{nc}z^{-nc}$
- $w(t)$: ruído branco de média nula;
- d : atraso de transporte do sistema

O procedimento utilizado para a identificação dos parâmetros da planta a ser utilizada no ajuste adaptativo em tempo real do controlador foi o Estimador dos Mínimos Quadrados Recursivo (MQR). A forma básica deste algoritmo foi apresentada por Coelho e Coelho (2004) que, para cada período de amostragem em $(t+1)$, segue os seguintes passos:

i) Medir a entrada $u(t)$ e a saída $y(t)$ da planta;

ii) Atualizar o vetor de medidas ϕ ;

$$\phi^T(t+1) = [-y(t) - y(t-1) \dots u(t-d) u(t-d-1) \dots] \quad (3)$$

iii) Calcular o erro de previsão ε ;

$$\varepsilon(t+1) = y(t+1) - \phi^T(t+1) \cdot \hat{\theta}(t) \quad (4)$$

iv) Calcular o ganho do estimador K ;

$$K(t+1) = \frac{P(t)\varphi(t+1)}{1 + \varphi^T(t+1)P(t)\varphi(t+1)} \quad (5)$$

v) Calcular o vetor de parâmetros estimados $\hat{\theta}$

$$\hat{\theta}(t+1) = \hat{\theta}(t) + K(t+1)\varepsilon(t+1) \quad (6)$$

vi) Calcular a matriz de covariância P , alternativamente pela equação:

$$P(t+1) = P(t) - K(t+1)[P(t)\varphi(t+1)]^T \quad (7)$$

No procedimento prévio de identificação off-line da planta, foi realizada uma simulação com 10 mil amostras, num tempo de 200 segundos. Foi aplicada como entrada $u(t)$ da planta um sinal PRBS (*pseudo random binary signal*), com banda de 0,1 segundo e amplitude variando aleatoriamente entre -1 e 1. Para se adequar os modelos Armax, um ruído branco de média nula foi aplicado como o sinal endógeno $w(t)$. A estimação foi aplicada ao modelo Armax com diferentes ordens polinomiais, e foi escolhido o modelo Armax [222], cujos parâmetros estimados convergiram no vetor $\hat{\theta}$, após as 10 mil amostras de simulação para os valores contidos na Tabela 1.

Tabela 1 – Parâmetros estimados para o Armax [222]

Termos $A(z^{-1})$	Termos $B(z^{-1})$	Termos $C(z^{-1})$
$a_1 = -1.92$	$b_0 = 0.0001$	$c_0 = -1.50$
$a_2 = 0.92$	$b_1 = 0.0046$	$c_1 = 1.36$

Fonte: do Autor

Projeto do Controlador por Alocação de Polos

O objetivo da técnica de controle por alocação de polos é ajustar a dinâmica em malha fechada do sistema em um comportamento previamente especificado. Para este projeto, utilizou-se a estrutura RST do tipo posicional, que manipula o sinal de controle $u(t)$ pela equação (Landau, 1998):

$$R(z^{-1})u(t) = T(z^{-1})y_r(t) - S(z^{-1})y(t) \quad (8)$$

onde $y_r(t)$ é a trajetória desejada para a saída $y(t)$, e $R(z^{-1})$, $S(z^{-1})$ e $T(z^{-1})$ são polinômios com ordem apropriadas nr , ns e nt , cujos coeficientes serão obtidos pelo algoritmo MQR de abordagem direta, utilizando os sinais de entrada e de saída, e são do tipo:

$$R(z^{-1}) = 1 + r_1 z^{-1} + \dots + r_{nr} z^{-nr} \quad (9)$$

$$S(z^{-1}) = s_0 + s_1 z^{-1} + \dots + s_{ns} z^{-ns} \quad (10)$$

$$T(z^{-1}) = t_0 + t_1 z^{-1} + \dots + t_{nt} z^{-nt} \quad (11)$$

Para o cálculo dos polinômios do controlador, devemos supor que a equação característica em malha fechada tenha características dinâmicas desejadas. Então, consideremos a relação referência-saída do sistema em malha fechada como sendo:

$$\frac{Y(z^{-1})}{Y_r(z^{-1})} = \frac{Q(z^{-1})}{P(z^{-1})} \quad (12)$$

Com alguma manipulação algébrica, a equação característica da malha fechada representada pela equação (12) pode ser dada por:

$$A(z^{-1})R(z^{-1}) + z^{-d}B(z^{-1})S(z^{-1}) = P(z^{-1}) \quad (13)$$

onde d é o atraso do ZOH, e $P(z^{-1})$ é o polinômio da equação característica que contém a dinâmica desejada do tipo:

$$P(z^{-1}) = 1 + p_1 z^{-1} + \dots + p_{np} z^{-np} \quad (14)$$

Para o sistema controlado proposto neste artigo, considerando o modelo Armax [222], temos $na = 2$ e $nb = 2$. Deseja-se um comportamento em malha fechada com características de segunda ordem. Para essa dinâmica, temos o polinômio característico em malha fechada com ordem $np = 2$. Então, para que a equação polinomial (13) seja possível, a ordem dos polinômios $R(z^{-1})$ e $S(z^{-1})$ do controlador deve ser $nr = 1$ e $ns = 2$. O polinômio do pré-filtro compensará o erro em regime permanente, e terá ordem $nt = 1$ com o seu valor igual ao valor em regime permanente do polinômio $S(z^{-1})$. Em uma adaptação da proposição de Landau e Zito (2006), o valor dos coeficientes dos polinômios $R(z^{-1})$ e $S(z^{-1})$ pode ser calculado pela equação matricial:

$$\theta_c = [\theta_p]^{-1} \theta_{aux} \quad (15)$$

onde θ_p é a Matriz de Sylvester dada por:

$$\theta_p = \begin{bmatrix} 1 & b_0 & 0 & 0 \\ a_1 - 1 & b_1 & b_0 & 0 \\ a_2 - a_1 & 0 & b_1 & b_0 \\ -a_2 & 0 & 0 & b_1 \end{bmatrix} \quad (16)$$

e ainda

$$\theta_c = [r_1 \quad s_0 \quad s_1 \quad s_2]^T \quad (17)$$

$$\theta_{aux} = [(p_1 - a_1 + 1 \quad p_2 + a_1 - a_2 \quad a_2 \quad 0)] \quad (18)$$

RESULTADOS E DISCUSSÃO

Especificou-se para malha fechada um tempo de acomodação igual à metade da resposta do sistema em malha aberta, ou seja, $t_{5\%} = 5s$ e com máximo sobre sinal de 10%. Com estas especificações, a equação característica em malha fechada é:

$$P(z^{-1}) = 1 - 1.4897z^{-1} + 0.6188z^{-2} \quad (19)$$

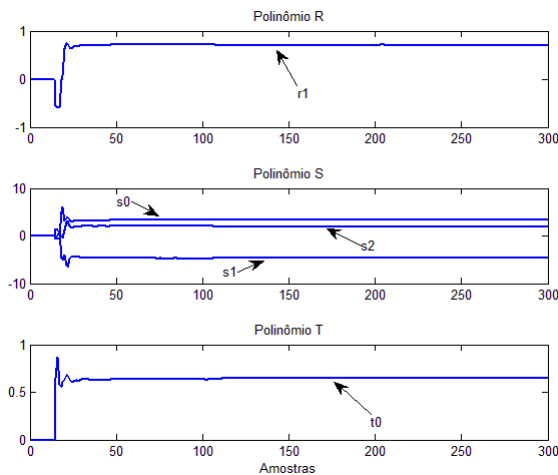
Para cada período de amostragem, o estimador MQR alimenta os valores estimados dos polinômios $A(z^{-1})$ e $B(z^{-1})$ nas matrizes das equações (16) e (18). Substituindo os coeficientes de (19) na equação (17), e resolvendo a equação matricial (15), são obtidos os valores dos coeficientes de $R(z^{-1})$ e $S(z^{-1})$ a cada iteração do estimador. O valor de t_0 é calculado como sendo a soma dos coeficientes de $S(z^{-1})$. Estes coeficientes convergem para os valores apresentados na Tabela 2.

Tabela 2 – Parâmetros estimados para o controlador

Termos $R(z^{-1})$	Termos $S(z^{-1})$	Termos $T(z^{-1})$
$r_1 = 0.7038$	$s_0 = 3.3402$	$t_0 = 0.6471$
	$s_1 = -4.6141$	
	$s_2 = 1.9209$	

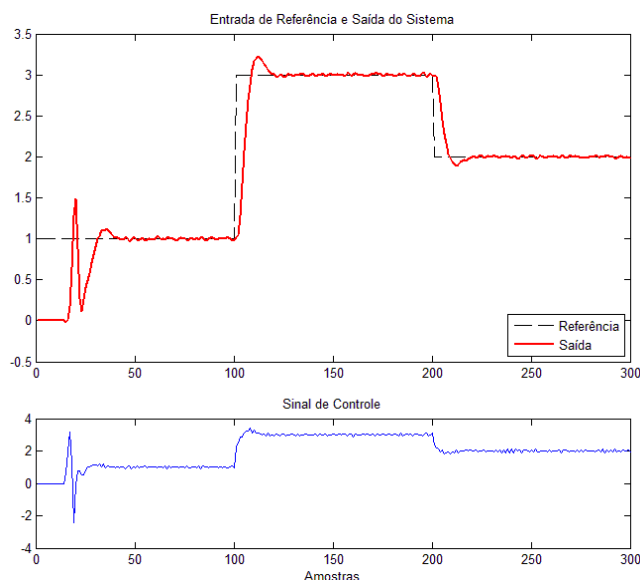
Fonte: do Autor

A dinâmica desta convergência pode ser observada na Figura 2.

Figura 2 – Convergência dos parâmetros do controlador

Fonte: do Autor

Com os polinômios $R(z^{-1})$, $S(z^{-1})$ e $T(z^{-1})$ aplicados na equação (8), tem-se o sinal de controle. A Figura 3 mostra o gráfico de resposta a uma referência com três “steps”, durante o intervalo de 300 amostras.

Figura 3 – Sinais de Referência, Saída e Controle

Fonte: do Autor

Pode-se observar que, durante as primeiras 30 amostras, a resposta em malha fechada não converge para sua referência, reflexo de uma fase de acomodação de estimação do algoritmo MQR. A partir dessa etapa, verifica-se o segmento à referência. No “step” dado na amostra 100, de amplitude 2, percebe-se que as especificações exigidas para o controlador são satisfeitas, assim como no “step” decrescente aplicado a partir da amostra 200. O sinal de controle também é apresentado na figura, onde se pode observar um comportamento não agressivo, mesmo enquanto o estimador ainda não convergiu.

CONCLUSÃO

Este artigo teve como objetivo fazer o estudo de caso da aplicação do controle adaptativo digital para uma planta pré-determinada. A planta proposta foi identificada de forma simulada por um algoritmo de estimação usando o método dos mínimos quadrados recursivo. Quanto ao método de sintonia por alocação de polos, o principal problema é a condição da existência da inversa da Matriz de Sylvester. Em algumas simulações durante a experimentação para este artigo, os coeficientes estimados pelo MQR levaram à obtenção de uma matriz singular, o que resultou em erro de simulação. Este fato, apesar de ser raro, pode inviabilizar a aplicação de um controlador em tempo real, se não forem tomadas algumas precauções de código para evitar este tipo de erro. Por fim, e talvez a mais importante conclusão, é que os algoritmos de identificação, sintonia dos parâmetros do controlador e o próprio cálculo do sinal de controle podem ser realizados no mesmo código, sincronizados no mesmo período de amostragem, conjuntamente com a obtenção dos sinais de entrada e de saída da planta, o que torna o STR explícito uma importante e popular ferramenta de controle de processos industriais.

REFERÊNCIAS

- ASTRÖM K. J. & WITTENMARK, B (1995), **Adaptive Control**, 2nd edition. New York: Addison-Wesley Publishing, EUA.
- COELHO, A. R. & COELHO, L. S (2004), **Identificação de Sistemas Dinâmicos Lineares**. Florianópolis: Editora UFSC.
- LANDAU, I. D. (1998), **The R-S-T digital controller design and applications**, *Control Engineering Practice*, 6: 155-165.
- LANDAU, I. D. & G. ZITO (2006), **Digital Control Systems: Design, identification and Implementation**, Springer, 1ª Edição, London.